

砂ろ過処理能力の弾力性に関する基礎研究

京都大学工学部 正会員 工博 末石昌太郎, 同○住友恒

1. はじめに

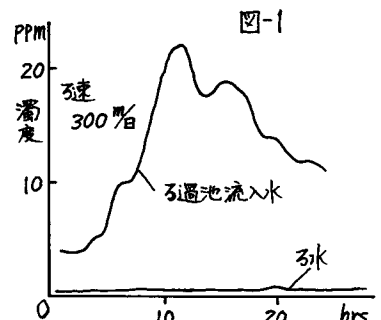
各種水処理装置では設計基準あるいは管理基準として設定された諸条件があらかじめ変化しても既定の能力を弾力的に維持しうることが少なくない。流入水の水量・水質に変動がある場合にも処理水としての流出水に少々ずつそれに対応した変動応答があることは限らない。この種の弾力的な能力は余裕能力として従来特に考えられることは少なかつたけれども、筆者らは近年これら微小変量の応答分析を重視して、そこから新たな諸特性を見い出しうることおよび対象システムの最適性に言及しうることを示してきた。¹⁾ 分析法としてはすこし微小変量分析あるいは限界量分析などを示し、設計・管理における弾力性の取扱い法についても示唆してある。^{2),3)} これで、これらをさらに具体化するためには個々の単位操作を対象に諸現象に立脚した応答分析が不可欠となる。⁴⁾ また一方、問題を処理施設に限らず、上水道システム全体の計画合理化を目的とする場合には、施設の弾力性分析に加え、水源能力および需要の弾力性⁵⁾をも同様に取扱ってゆくことによて多くの効果を期待しうる。以上の研究の一環として、本文では以下急速砂ろ過現象における弾力的な処理能力を分析対象とするが、周知のようにろ過の浄化構造に関する理論も未確立である上にろ過池は微小な水量変動に極度に不安定といわれてゐる。したがって、ここでは砂層における水の運動に関する基本的な検討をまず重視する。ただ、流入水の質的な変動についてはすでに図-1に示す実際原水を対象とした実験例⁶⁾からもわかるようにかなりの弾力的な処理能力を期待しうるようである。この質的な能力と量的な能力を結合し、今後段階を追って統合的ろ過処理能力の弾力性を定量化してゆくことを本文の究極の目的とする。

2. 砂ろ過構造の考察と砂層 Channel のモデル化

従来砂ろ過に関する研究は数多く、浄化構造などろ過現象そのものを本格的に基本原理から検討した例は比較的小ない。損失水頭を主要指標として現象説明を試みたものとして、(1)式のように Darcy 公式を考慮した Navier-Stokes 公式を運動の方程式とし、(2)式の水量連続の式との連立のもとに理論展開した合田⁷⁾の研究がある。一方、砂層内水質挙動に関する研究としては砂層内における濁度の減少を基本的には一次反応過程と同様にとらえこれを理論展開した岩崎⁸⁾の研究が知られている。後者は(3)式のように砂層深さ方向に一般型として表示される水質に関する連続の式の一つの近似表示といえる。

$$\frac{\partial u}{\partial t} + u \frac{\partial u}{\partial x} = g \lambda - \frac{1}{\rho} \lambda \frac{\partial p}{\partial x} - \nu \frac{\lambda}{K} u \quad (1)$$

$$\frac{\partial \lambda}{\partial t} + \frac{\partial \lambda u}{\partial x} = 0 \quad (2)$$



$$\frac{\partial C\lambda}{\partial t} + \frac{\partial C\lambda U}{\partial z} = \phi \quad (3)$$

ニニギの各値は砂層深さ λ 、時間 t における値を示し、入 U は空間的なものが平面的有効量に等しいと近似された「空隙量」、 U は空隙内 z 方向平均流速、 C は水質、 λ は空隙内浄化作用（増減量）を括した総量、 ϕ 、 P 、 V 、 g はそれぞれ重力加速度、入 U の λ 有効=働く圧力、動粘性係数、透水係数。一般に各式の理論展開としてはろ過構造に関する微視的考察からた、 ϕ 値などといった具體化する本によって分かれるので、砂層内の微視的な諸現象の把握が不可欠となる。ニニギカオリン原水による急速引退実験を行な⁹⁾顕微鏡を用いて砂層内の濁質追跡を行な⁹⁾てみた。⁹⁾ 砂層各部より滴のサンプル液を白血球測定用メランジュールを用いて攪拌し、トマ計算盤にてカオリン粒子数を実測した。本文の目的からその詳細についでは省略するが、結論として砂層 channel 論を指摘した。¹⁰⁾ 1964年に至り Camp および Stain は砂層内粒子運動を高速度カメラで実測し、同様に Channel 成長を指摘¹¹⁾、図-2に示すような成長過程の概念図を示している。これら的一致から以下の考察を Channel 論によつて進めることにするが、channel 成長を砂層内各膜部における現象説明に限定すると Camp が試みて¹¹⁾いるように全砂層に拡大適用する2つの方向がある。後者の場合、3膜にせられず、微視的な砂粒子間の空隙流を Channel 流とせなし、精度を犠牲にしてでも空隙流としての諸特性を Channel 流に置換することに相当する。ニニギは後者の立場にたち、以下ろ過の浄化構造に考察を加えつつ、砂層内水流の取扱いに新たな一つの方法を提示したい。3層内の Channel 流では流体中の懸濁物が Channel 壁に衝突合一、吸着などを伴なうと同時に Channel 壁から付着物のはく離を伴なうのが特徴である。この特性を考慮して3層内 channel を表示する場合、図-3に示すように機能上複層流に分割するのが効果的である。

図-3(b)のように Channel は中心部の草食性流水層と砂表面面上の付着物層および衝突吸着はく離現象の卓越する境界層に分割することが考えられる。流体部のみを取り上げれば図-3(a)のように流水層と境界層を考える。Camp が指摘するようにろ過における直倍の浄化現象は壁面上に限定されるものと考え、上記境界層を流水層とは性格を異にし、浄化に直接関与する部分として特徴づけることも可能であろう。当然流水層と境界層の水量・水質交換を考慮する必要がある。図-3(a)にも示されるように、

Channel 内流水層の水理学的特性は横水流出入を伴なう水流⁽¹²⁾として特徴づけられることはできるが興味深い。ただ、砂層内水流は微視的にみれば、Channel の分割・統合あるいは大きな径変化など一括して取り扱い難い多くの問題がある。しかし、本文の主たる目的である弾力的処理能力の総括的な定量化のためには流动特性さえ実験的に検証せきれば、一つの特性置換として精度上特に問題は残らないものと考える。

*(脚注)未検討事項を残すので以下 Prandtl の定義する境界層とは一括別する。

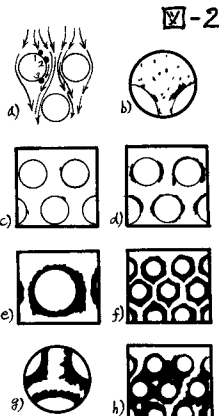


図-2

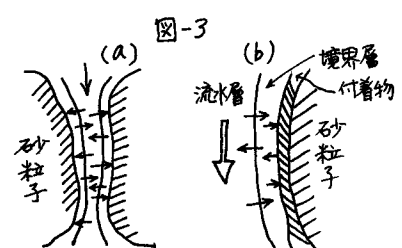


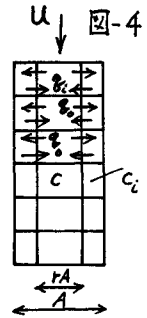
図-3

したがって、Camp が Channel 論を終局的には砂層全体の説明に拡大展開していようとは、以上砂粒子間複層流の考え方を3層全体に拡大することも可能と考える。つきに二の場合の(1), (2), (3)式の取り扱いを具体化するが、現時處のろ過技術ではろ過速度が変化する場合にも定水頭子遇を採用し、コントローラによる自動ろ過調整を行なうのが一般的である。この技術を前提に砂層内水質を追跡する場合、(1)式の運動の式を $\frac{\partial r\lambda}{\partial t} + \frac{\partial r\lambda u}{\partial z} = q_i - q_f$ と取り上げなくとも処理水量を初期条件として(2), (3)式に設定してゆけば十分であろう。これはこれまでに述べた Channel 論を採る場合の(2), (3)式の具体化を以下に示しておく。図-3に示す Channel 流動をモデル表示すれば、時間 t 、3層深さ方向 z によつてそれぞれ径の異なる Channel のうち、同一径とみなしうる部分については図-4のように表わしうる。Channel の断面積を A 、流水層の断面率 c_i と表わせば流水層断面積は $c_i A$ 、境界層断面積は $(1-c_i)A$ 、と表わされる。ろ過淨化の過程を図-4上で追跡すれば、まず濁水体上部より流水層を平均流速 U で流下してくる。流下濁水の一部 q_f は境界層に入り残りは流下をつづける。境界層に流入した q_f は壁面への衝突など淨化作用をうける。 q_f の移行と同時に境界層の一部水量 $q_f c_i$ が流水層に出、流水層の流れとしては出入り併ないつつ順次流下するものと考える。したがつて流水層境界層と水と水に対する水量および水質の連続条件が成り立つ。

合田理論によれば、ろ過層には空間的の空隙率と平面的の空隙率を近似的に算しくみなしうるとみなす、Channel の断面積 A を立体的の砂層空隙率入 $r\lambda$ と表わし、上記 q_f , q_i を考慮して流水層の水量・水質の連続の式を求めれば、(2), (3)式よりそれを次の式をえる。

$$\frac{\partial r\lambda}{\partial t} + \frac{\partial r\lambda U}{\partial z} = q_i - q_f \quad (4)$$

$$\frac{\partial r\lambda c}{\partial t} + \frac{\partial r\lambda U c}{\partial z} = c_i q_i - c_f q_f \quad (5)$$



したがつて一定とみなしうる範囲で上式より次式をえる。

$$\frac{\partial c}{\partial t} + U \frac{\partial c}{\partial z} = (c_i - c) q_i / r\lambda \quad (6)$$

$$\text{これより, } \frac{dc}{dt} = U, \quad \frac{dc}{dz} = (c_i - c) q_i / r\lambda \quad \sim \quad (7)$$

同様に境界層については淨化作用・はく離などの水質変化を考慮して次式をえる。

$$\frac{dc_i}{dt} = (c - c_i) q_f / (1 - c) r\lambda - m c_i + \phi' \quad (8)$$

(8)式右辺第2項の $-m c_i$ は境界層における水質淨化を表わす項で、岩崎理論を拡大解釈して水質変化は一次反応的に c_i の水質値に比例するものとみなし、 m はその比例定数とする。それ以外のはく離などによるあらゆる水質変化を ϕ' にて一括表示していゝが、平常時を対象にする場合、 $\phi' = 0$ とみなしあらゆる水質変化を m 値にて一括表示することも可能である。

さて、(7), (8)式を用いて非定常水質濃度を追跡する場合、(7)式の $\frac{dc}{dt} = U$ をまとめて特性曲線群を作成し、刻々の初期条件、境界条件を用いて因解的 $c = C$, C_i 値を算定してもよし、電子計算機に

て数値解析してもよい。⁴⁾

3. 砂層内水流実験とChannel論の検証

これまで Channel の想定のもとに砂層内水流のモデル化を試みたが、そこでも明らかのように Channel 流に断面率トで表される玄義の短絡流が存在すれば、それがさてもろ過池における程度の変動に対する緩衝能力を期待しうる。⁴⁾ 3過処理能力に潜在する弾力性の度量化的第1歩としては、まず Channel 流動に短絡を想定する仮説自体を実験的にも検証しておく必要がある。この仮説の検証に目的をしおり、流動の追跡を主目的とすれば、必ずしも閉塞進行を伴う従来一般に行なわれる3過実験を行なわなくてはまず3過水流実験を行なうことによって特性を十分把握しうる。

実験方法としては図-5に示す内径 2.8 cm に急速3過砂（均等係数 1.67, 有効径 0.6 mm）を厚さ 5.5 cm 充填し、砂層内 Channel 流動に想定した直短絡流を NaCl レーザーを用いて流入出水質の応答を調べる。水質測定としては白金電極を用い連続自動記録する。通水方法は急速3過操作におけると同様、砂表面上を一定に保ちつつ水道水を流す。3連調整は下流端セピニコッフを用いて行なう。種々の3連条件下での流入流出 NaCl 濃度の応答実測結果の一例を図-6から図-16に示す。流速によりて応答特性に明確な差が認められる。3連の大きさの場合には流入水質パターンがその半分一定時間後に流出する傾向が強い反面、3連が小さくなるにつれて3槽内に濃度貯留の影響が出現し、流入水質はまろやか徐々に長

図-5

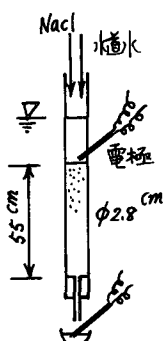


図-6

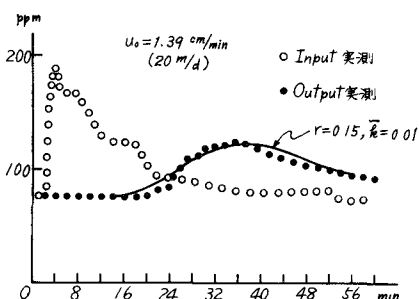


図-7

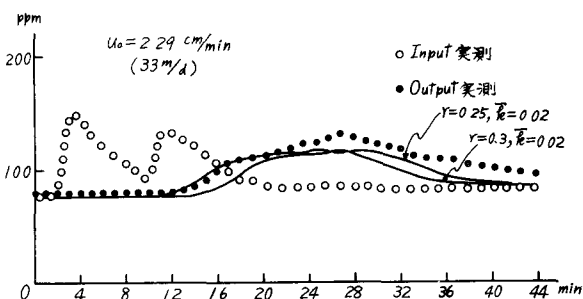


図-8

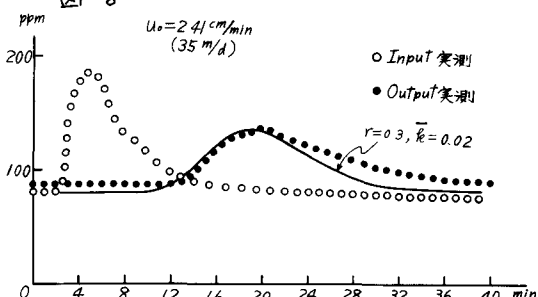
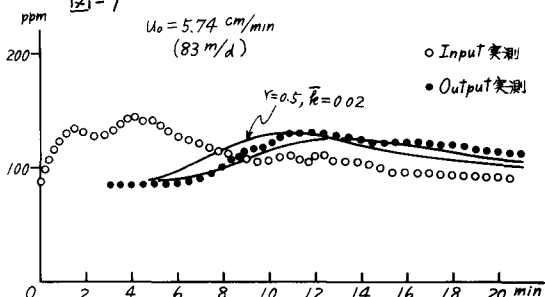
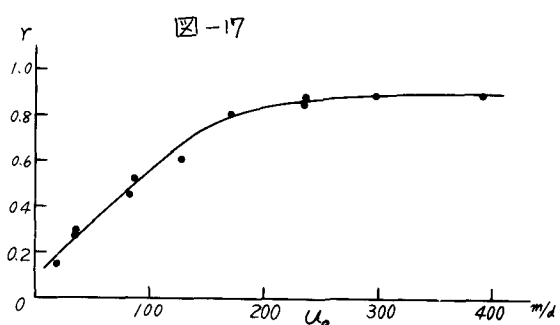
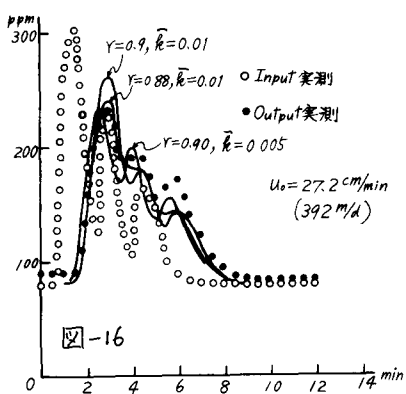
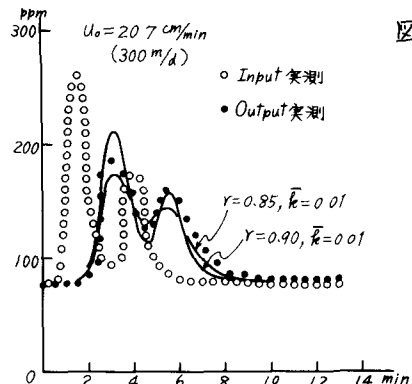
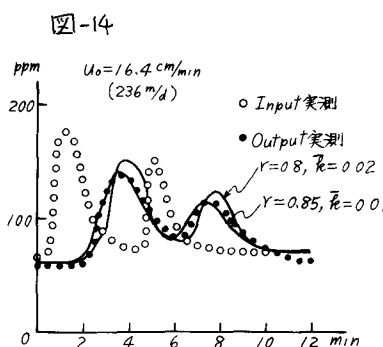
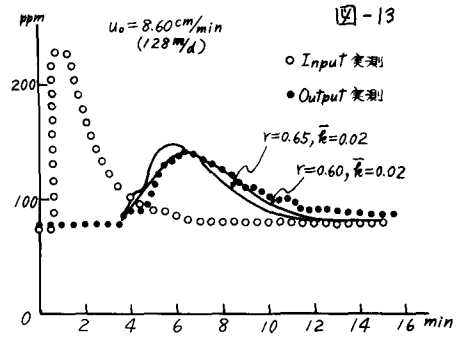
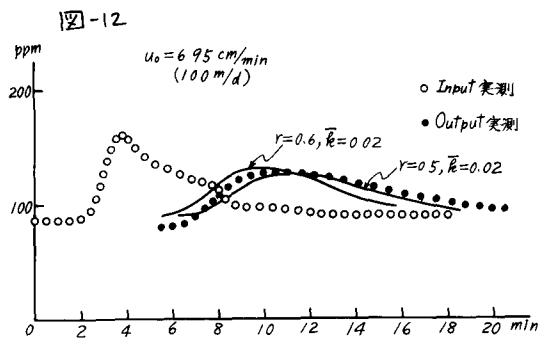
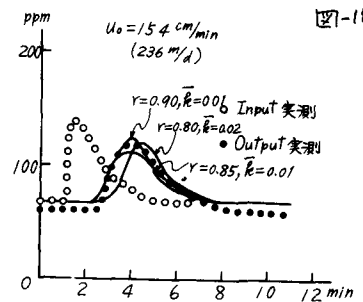
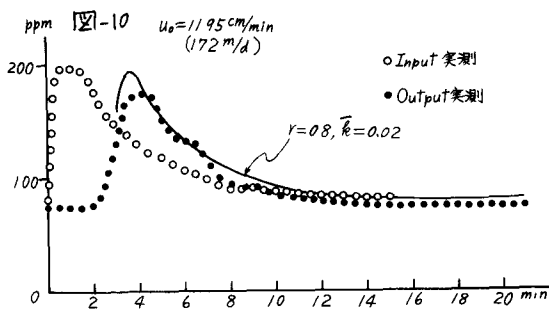


図-9





時間にわたって流出する傾向が強まる。これらの流入流出水管応答を先に示した(7), (8)式にて追跡した理論曲線を各図中に併記し、実測値との適合度からト、 \bar{m} , $\bar{\eta}_i$ の値を決定してゆく。この実験解析にあたって ϕ , m 両値はともに0, 入につけて砂層各部の空隙率を各部粒径値より算定した値を初期条件として与えておく。各図中白丸印で表すInput実測水管値も刻々境界条件として与える。 $\bar{\eta}_i$, $\bar{\eta}_o$ としてはひとまず次式のように近似してトと同様つきの $\bar{\eta}$ 値をパラメータ化して理論曲線と実測値の適合度から各当量値を探る。

$$\bar{\eta}_o = \bar{\eta}_i = \bar{k} \cdot u \quad (9)$$

以上の検討結果のまとめとして、Channel流内における流水層の断面率トの変化を3週速度(ト値から算定)を基準に表示したのが図-17である。図からわかるように3速がほぼ160%/日まではトは3速に比例的に増大し、境界層は比例的に小さくなり、200%/日を超えるとトにあまり大きな変化がみられないくなることわかる。Channel内の境界層が大きいほど水管伝播の緩衝効果があるものと考えると=3から、3速が大きくなるにつれて処理能力の弾力性はほぼ比例的に減少するものと推論しうる。200%/日を超えてさらに3速が増大する場合は弾力性にあまり顕著な変化はみられないようだ、これはより砂層内水流にほぼ固有の限界境界層を想定しうる。ニセでい3限界境界層とは砂粒子表面に流速が早く、ても密着する膜状の水の層を指し、ほぼ砂層空隙の10%を占めることがわかる。従来、急速砂3速における3速の設計値をほぼ180%以下にするのが一般的とされているが、これは一定の淨化率を期待するばかりではなく、さらに淨化能に弾力性を持たせる結果となるべいようである。特に竟圖されたことではないようであるが、経験的に180%以下に保つ方が安全性は高いなど判断されたものと思われる。この判断が一たん科学的な根柢を有するものであることを明らかにすることができた。同時に、3速を180%/日以上に高める場合の新しい対策を以上の検討から徐々に明らかにしてゆけるものと期待できる。ただ、図-17の精度については未だ十分なものとはいがたく、今後の問題を残す。たとえば理論曲線と実測曲線の各合致度および $\bar{\eta}$ 値の0.005から0.02におよぶ分散の問題で、特に後者についてはこれまでの検討がトと $\bar{\eta}$ の両値をパラメータとしているので、 $\bar{\eta}$ 値の分散の影響が当然トの精度に及んでいるものと考えられる。しかし、以上の実験なら、精度上若干の問題を残しながら、砂層内水流パターンに関する種々の仮想事項が十分妥当なものであることを証明しうるものと考える。なぜつづきに、一般3速池におけると同様原水が凝集処理された砂層に淨化能力が発揮される場合すなはち(8)式にて m 値が0ではない場合についても同様の検討を加えてみる。

筆者らの研究室における室内3温実験では一例として図-18及び図-21に示すような水管応答の実測値をえてある。^{(9),(14)} 河床泥を水道水を希釈した濁水をバンド処理した上で沈殿処理し、次の流出水を3温原水としている。3温管は直径40cm, 3材は先の実験におけると同様で厚さ66cmとし、砂上水深50cmを維持しつつ平均321%/日の速度で減衰3温したものである。理論値追跡法は流动実験の場合とやや異なり、(8)式中の m 値を新たにパラメータ化するとともに、境界層より流水層に近づく $\bar{\eta}_i$ の水値を常に0と近似した。これは実測値の理論追跡を行なったところ結果的にえらんで近似せし、境界層の淨化力が大きくなる淨化後水是非常に清澄化せりるものとみなしていふことを指す。理論曲線を結果のみ各図中に併記しておく。また、ニセの $\bar{\eta}$ 値は先の結果からひとまず0.01に設定してある。

図-18

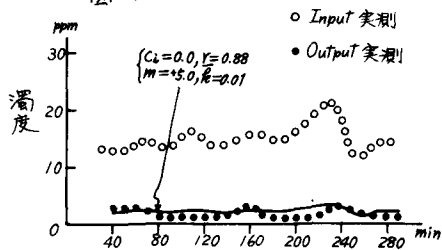


図-19

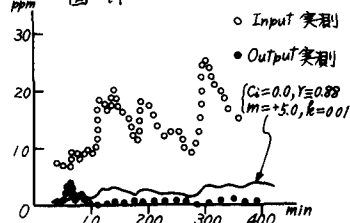


図-20

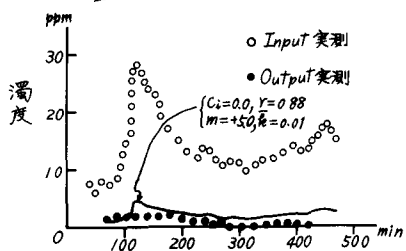
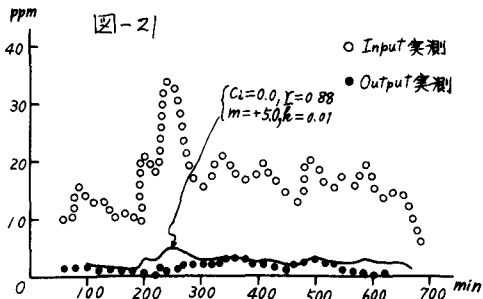


図-21

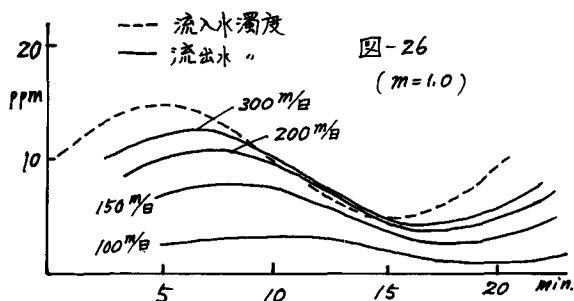
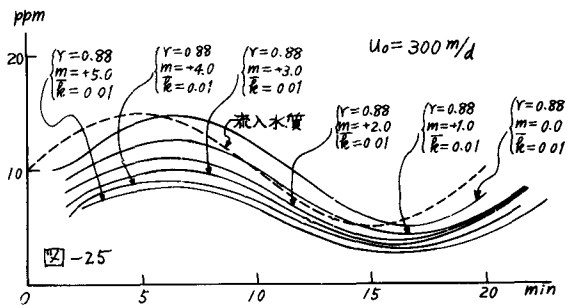
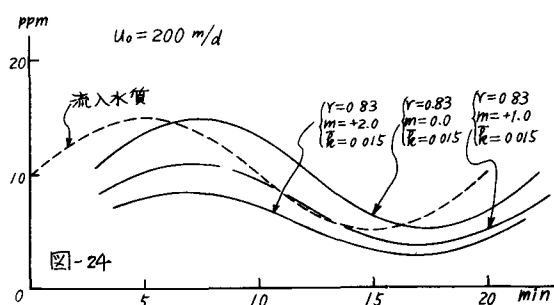
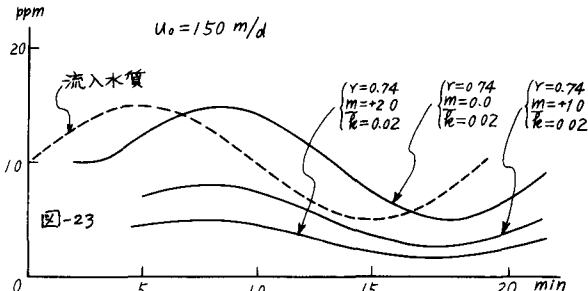
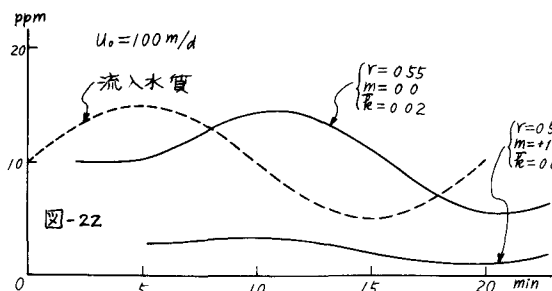


さて、理論値の適用結果を総括的展望すれば、先の流動分析の場合に比べて一致度に低下がみられる。その最大の要因はフロック自身の不安定性および砂層内でのフロック除去(濁質除去)現象の不確定性によるものといえよう。また、図-18から図-21では3層流下(通過)時間が相対的にきめ細かな短時間であることに留意しなければならない。各図に示される流入水質変動は比較的長時間にわたるにもかかわらず、先述の水の処理水は数分単位で刻々流出しているはずで、先の流動分析で指摘した砂層内貯留の効果がこれら長時間変動においても有効な影響を及ぼしえることは限らない。むしろこれが長時間にわたる砂層の濁質浄化機能をゆめ濁質の抑留・ばく離などが長時間にわたる流入水の変動にいかに対応するかがより重要な問題となる。いわば、長時間にわたる3層通過処理能力の弾力性はChannelモデルにおける境界層の容量に依存するといふよりむしろ境界層内の浄化機能の対応能力に依存するといえる。(8)式上記とすれば、短期的な3層通過能力の弾力性は m 値に大きく依存するが長期的な弾力性はむしろ m 値や k 値に左右されるものといえる。したがって、以上の実験のうち m 値の流入条件変動に対する詳細な響動を論ずることはできぬので、これらの厳密な分析は今後の課題として残さざるを得ない。

以上の実験結果をまとめておくと、1) Channel論の仮説を一概に検証しえないこと。2) Channel内の流水層と境界層の構成は3連によつてわかることを定量的にも明らかにしたこと。3) これらの結果から3連が小さく程、諸変動に対する3層池が安定で、短期的には弾力的な処理能力を期待しうることを指摘した。さらに、4) 長期的な弾力性については砂層内流動条件よりも浄化機能の分析が必ず要であることを明らかにし、今後の研究方向を明らかにした。

4. 3過処理能力の短期弾力性について

3過処理時間に対応するような長時間にわたる3過処理能力の弾力性を定量化するためには浄化機能に関する今後の研究をさらに必要とするが、砂層流過時間に対応するような短時間にわたる3過処理能力の弾力性は以上の実験結果からある程度定量化できる。図-17に得られた結果をもとに、3過処理池への流入水質が変動する場合の処理水への応答を(7), (8)式を用いて算定した一例を図-22から図-25に示す。図-26にまとめると、一例として半時間にわたる流入水質の変動(図-26に付記)によつてかなり変化するところがわかる。いまかくれば、弾力的な処理能力はどのときの通水量に依存する。図は m 値がすべてに共通して1.0のときの数値例にすぎず、あらゆる場合の処理能力の弾力性を普遍的に定量化するには至らないが、短期的弾力性については同様の検討を續かねばいくことにより、定量化が可能になるものと考える。これらの弾力性値の実際面への活用法は浄水場の設計、管理面にむだり数少くないが、たとえば図-26だけからでも流入水質の変動を時前に予知した場合において3過速度をコントロールしてゆけばよきを知りうる。



5. おわりに

以上、3過構造の考察から Channel論を接続し、さらに砂層内 Channel流動には流速分布があり、ミクロに短絡流が存在することを実証した。Channel流中、流速の大小（あるいは静止して）の短絡外部流はほとんどの砂表面（あるいは抑留フロック表面）に膜状に密着する層とも考えられ、二水流量にも究明することができた。したがって沈殿能力におよぼす短絡構造流の緩衝効果⁴⁾と同様、3過の処理能力にもいくらか弾力性を期待しうることを明らかにした。しかし、今日一般的な3過速度および砂層重さを考えると、上記3層内の短絡外部流（境界層）が容量的にかなり小さく、3層からその緩衝効果に大きな影響を伴うことが明らかになった。したがって3層内流動に伴う3過能力の弾力性は、従来の3過方式を採用する限りかなり短期的流入条件変動に対する場合に限り有意な効果を期待しうることを指摘した。この効果をさらに拡大するためには3速を低下させるとか、砂層重さを増大するなどいわれにし3層表面に密着する水膜量の相対的拡大に努めなければならぬことはいうまでもない。長期的流入条件変動に対する弾力性を期待する場合は、流動に伴う弾力性をあまり期待しないので、それが濁質除去現象にその原因を求めなければならない。つまり、除去・抑留・排斥現象に弾力性を求めるのはならない。この現象解明については今後の課題として残すことになり、本文の成果としては3過能力の短期的弾力性を砂層内流動方面から言及した点にあるといえる。

最後に、本研究に当たり3過理論について合田健教授より多くの助言をえたことおよび「雑誌3過実験」について森尾宗俊、坂本弘道両氏に重きを大きめと言記し、ここに感謝の意を表す。

参考文献

- 1) 末石、住友、弾力性概念による需要水量と浄水場設計の分析について、土木学会、第5回衛生工学シンポジウム講演論文集、昭44.
- 2) 末石、住友、需要増に対する弾力的給水管理について、土木学会年次学術講演会講演概要集、昭44.
- 3) 末石、住友、弾力的処理能力を考慮した施設設計について、同上、昭45
- 4) 末石、住友、短絡流による沈殿処理能力の弾力性について、土木学会、第6回衛生工学シンポジウム講演論文集、昭45.
- 5) 住友、都市における上水需要量の変動特性について、土木学会論文集、158号、昭43.
- 6) 森尾、未発表（大阪市水道局）
- 7) 合田、砂3過水理に関する基礎的研究、土木学会誌、37-1、昭27
- 8) 岩崎、3過阻止率の計算、土木学会誌、8, 9、昭13.
- 9) 住友、急速砂3過に関する基礎的研究、京都大学卒業論文、昭37
- 10) Baylis、Experience in Filtration, JAWWA, Vol.29, 1937
- 11) Camp、Theory of Water Filtration, J. of Sanitary Eng. Div., ASCE, SA4, Aug. 1964
- 12) 森尾、浄水場の水質管理に関する基礎的研究、京都大学修士論文、昭40.
- 13) 坂本、浄水操作と処理水質応答に関する実験的研究、京都大学卒業論文、昭40.
- 14) 岩垣、末石、横並一様な流入のある雨水路の不定流について、土木学会誌、昭29、39, 11